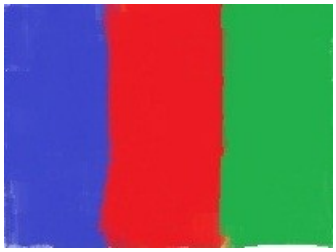

À Rabat le 11 Mars 2026

Titre

Signatures Une nouvelle théorie de la matière

ou

La cinquième dimension de la chimie : Signatures, phases et métamorphoses spectrales

Chapitre 6 : Synthèse unifiée du paradigme Rachid ELAÏDI – Des signaux aux signatures, métamorphoses et émergence du monde visible

Auteur : Rachid ELAÏDI
Affiliation : Laboratoire de Physique Théorique et de Chimie Spectrale, independent
Date : 11 mars 2026

Résumé

Ce chapitre présente une synthèse complète et unifiée du paradigme Rachid ELAÏDI, rassemblant l'ensemble des concepts développés précédemment : le Tableau Périodique des Signatures Spectrales RE (TP_RE), l'arbre modulo nπ, les vitesses supraluminiques, les entités sans masse, les intensités spectrales, les énergies de base et sporadiques, les signaux et leurs degrés d'invisibilité multidimensionnels, les ombres spectrales, le brouillard, et une classification exhaustive des métamorphoses. Une équation maîtresse fondamentale, issue d'un principe de moindre action spectrale, est établie pour décrire l'évolution des signaux depuis les profondeurs de l'invisible jusqu'à l'émergence de signatures observables. Des exemples concrets (fusion résonante H_3+He+O, dislocation de C_2H_6, etc.) illustrent la puissance prédictive du modèle. Un tableau comparatif systématique entre le tableau périodique classique et le TP_RE est dressé, montrant comment chaque élément du monde visible trouve son correspondant spectral dans le monde invisible, et comment de nouveaux états spectraux peuvent prédire l'existence d'espèces chimiques encore inconnues. Ce travail constitue la pierre angulaire d'une théorie unifiée de la matière, où le monde visible n'apparaît que comme la partie émergée d'un iceberg spectral infiniment plus vaste.

Mots-clés : TP_RE, tableau périodique classique, arbre modulo nπ, vitesses supraluminiques, sans masse, signatures spectrales, signaux, intensité, énergie sporadique, ombres, brouillard, métamorphoses, équation maîtresse.

---

1. Introduction : Le paradigme Rachid ELAÏDI

Le Tableau Périodique des Signatures Spectrales RE (TP_RE) associe à chaque élément chimique une signature spectrale complexe S(X) = A_X exp(i π n_X / 24), où n_X est un entier modulo 48. Cette signature émerge de signaux plus fondamentaux qui parcourent un espace multidimensionnel avant de se condenser en états observables. Le paradigme Rachid ELAÏDI repose sur une distinction ontologique entre deux plans de réalité en interaction permanente : le monde invisible (MI) des signaux et archétypes, et le monde visible (MV) des molécules, ce dernier étant précisément décrit par le tableau périodique classique.

L'arbre de Rachid ELAÏDI modulo nπ structure l'ensemble des relations entre entités : tout élément peut s'écrire comme combinaison linéaire à coefficients entiers des 24 éléments fondamentaux, modulo 48. Cette structure arborescente cyclique permet un jeu infini de transformations entre passé, présent et futur.

Dans ce chapitre, nous unifions tous les développements antérieurs pour présenter une théorie cohérente, depuis les signaux les plus profonds jusqu'aux signatures observables, en passant par les métamorphoses et les interactions avec le brouillard. Nous établissons également une correspondance systématique entre le tableau périodique classique et le TP_RE, montrant que chaque élément du monde visible possède un double spectral dans le monde invisible, et que de nombreux états spectraux n'ont pas encore d'équivalent visible, constituant un réservoir de découvertes potentielles.

---

2. Fondements mathématiques : espace de Rachid ELAÏDI et grandeurs fondamentales

2.1 Représentation vectorielle

Soit B = {E_1, E_2, …, E_{24}} la base des éléments fondamentaux (période 1). À chaque E_i est associé :

•un indice de phase n_i (avec n_i = i)
•un nombre premier distinct p_i (garantissant l'unicité des représentations)

Toute entité X (archétype du TP_RE ou molécule) est représentée par un vecteur d'exposants a(X) = (a_1, a_2, …, a_{24}) ∈ $\mathbb{Z}^{24}$, où a_i est le coefficient de E_i dans la décomposition de X. La phase de X est :
n_X = (somme sur i de a_i n_i) mod 48

2.2 Grandeurs fondamentales

•Intensité spectrale : I_X = ||a(X)||² = somme des a_i²
•Constante évolutive : κ_X = n_X / 48
•Vitesse supraluminique : v_X = n_X (en unités où c=1)
•Temps spectral propre : T_RE(X) = 48 / n_X

•Énergie de base : $E_X = \kappa_X I_X = (n_X / 48) I_X$
•Énergie sporadique : $\delta E(\tau) = E_{tot}(\tau) - \langle E \rangle$ (fluctuations temporelles)

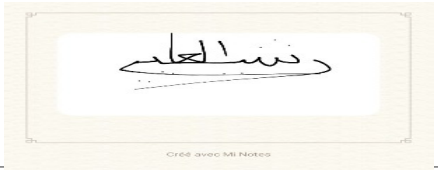

3. Tableau comparatif : TP classique et TP_RE

Le tableau suivant établit une correspondance systématique entre les éléments du tableau périodique classique (avec leur numéro atomique Z, leur symbole, leur masse atomique) et leurs équivalents dans le TP_RE (indice RE, phase n, intensité I, énergie E). Il inclut également des états spectraux prédits par le modèle (ombres, métastables) qui n'ont pas encore d'équivalent dans le monde visible.

Élément classique	Z	Masse classique	Élément TP_RE	Indice RE	Phase n	Intensité I	Énergie E = nI/48	Vitesse v = n	Temps T_RE = 48/n	Remarques
Hydrogène	1	1,008	H	RE(1)	1	1	0,0208	1	48	Fondamental
Hélium	2	4,0026	He	RE(2)	2	1	0,0417	2	24	Fondamental
Lithium	3	6,94	Li	RE(3)	3	1	0,0625	3	16	Fondamental
Béryllium	4	9,012	Be	RE(4)	4	1	0,0833	4	12	Fondamental
Bore	5	10,81	B	RE(5)	5	1	0,1042	5	9,6	Fondamental
Carbone	6	12,01	C	RE(6)	6	1	0,125	6	8	Fondamental
Azote	7	14,01	N	RE(7)	7	1	0,1458	7	6,857	Fondamental
Oxygène	8	16,00	O	RE(8)	8	1	0,1667	8	6	Fondamental
Fluor	9	19,00	F	RE(9)	9	1	0,1875	9	5,333	Fondamental
Néon	10	20,18	Ne	RE(10)	10	1	0,2083	10	4,8	Fondamental
Sodium	11	22,99	Na	RE(11)	11	1	0,2292	11	4,364	Fondamental
Magnésium	12	24,31	Mg	RE(12)	12	1	0,25	12	4	Fondamental
Aluminium	13	26,98	Al	RE(13)	13	1	0,2708	13	3,692	Fondamental
Silicium	14	28,09	Si	RE(14)	14	1	0,2917	14	3,429	Fondamental

Élément classique	Z	Masse classique	Élément TP_RE	Indice RE	Phase n	Intensité I	Énergie E = nI/48	Vitesse v = n	Temps T_RE = 48/n	Remarques
Phosphore	15	30,97	P	RE(15)	15	1	0,3125	15	3,2	Fondamental
Soufre	16	32,06	S	RE(16)	16	1	0,3333	16	3	Fondamental
Chlore	17	35,45	Cl	RE(17)	17	1	0,3542	17	2,824	Fondamental
Argon	18	39,95	Ar	RE(18)	18	1	0,375	18	2,667	Fondamental
Potassium	19	39,10	K	RE(19)	19	1	0,3958	19	2,526	Fondamental
Calcium	20	40,08	Ca	RE(20)	20	1	0,4167	20	2,4	Fondamental
Scandium	21	44,96	Sc	RE(21)	21	1	0,4375	21	2,286	Fondamental
Titane	22	47,87	Ti	RE(22)	22	1	0,4583	22	2,182	Fondamental
Vanadium	23	50,94	V	RE(23)	23	1	0,4792	23	2,087	Fondamental
Chrome	24	52,00	Cr	RE(24)	24	1	0,5	24	2	Fondamental
Molécules										
Eau	-	18,015	H_2O (composite)	-	10	5	1,0417	10	4,8	Résonance avec Ne
Dihydrogène	-	2,016	H_2 (composite)	-	2	4	0,1667	2	24	Résonance avec He
Méthane	-	16,04	CH_4 (composite)	-	10	17	3,5417	10	4,8	Résonance avec Ne
Monoxyde de carbone	-	28,01	CO (composite)	-	14	2	0,5833	14	3,429	Résonance avec Si
Dioxyde de carbone	-	44,01	CO_2 (composite)	-	22	5	2,2917	22	2,182	Résonance avec Ti
Ammoniac	-	17,03	NH_3 (composite)	-	10	10	2,0833	10	4,8	Résonance avec Ne
Radical hydroxyle	-	17,01	OH (composite)	-	9	2	0,375	9	5,333	Résonance avec F
Ion hydronium	-	19,02	H_3O^+ (composite)	-	11	10	2,2917	11	4,364	Résonance avec Na

Élément classique	Z	Masse classique	Élément TP_RE	Indice RE	Phase n	Intensité I	Énergie E = nI/48	Vitesse v = n	Temps T_RE = 48/n	Remarques
Acétylène	-	26,04	C_2H_2 (composite)	-	14	8	2,3333	14	3,429	Résonance avec Si
Éthylène	-	28,05	C_2H_4 (composite)	-	16	20	6,6667	16	3	Résonance avec S
Éthane	-	30,07	C_2H_6 (composite)	-	18	40	15	18	2,667	Résonance avec Ar
États prédits (ombres)										
Hydrure d'hélium et d'oxygène	-	?	H_3HeO	-	13	11	2,979	13	3,692	À confirmer
H_4HeO_2	-	?	(H_4HeO_2)	-	20	21	8,75	20	2,4	Combinaison de Cf
C_3H_3	-	?	(C_3H_3)	-	21	18	7,875	21	2,286	Combinaison de Es
H_6C_2	-	?	(H_6C_2)	-	18	40	15	18	2,667	Déjà C_2H_6
Éléments lourds										
Californium	98	251	Cf	RE(116)	20	20 (H_4O_2)	8,333	20	2,4	Archétype Ca
Einsteinium	99	252	Es	RE(117)	21	18 (C_3H_3)	7,875	21	2,286	Archétype Sc
Fermium	100	257	Fm	RE(118)	22	à déterminer	-	22	2,182	Archétype Ti
Mendélévium	101	258	Md	RE(119)	23	à déterminer	-	23	2,087	Archétype V
Nobélium	102	259	No	RE(120)	5	à déterminer	-	5	9,6	Archétype B

4. Des signaux aux signatures : degrés d'invisibilité multidimensionnels

4.1 Définition des signaux

Un signal est une entité mathématique fondamentale, notée $\Psi(r, \lambda, \tau)$, où :

•r est une coordonnée dans un espace spectral continu
•$\lambda = (\lambda_1, \lambda_2, \ldots, \lambda_n)$ avec $n \to \infty$ est un vecteur de degrés d'invisibilité
•τ est le temps spectral

Chaque composante λ_i représente le degré d'invisibilité selon une direction spectrale particulière, liée à un élément fondamental ou à une modalité de propagation dans l'arbre.

4.2 Métrique sur l'espace des invisibilités

$||\lambda||^2 = \text{somme sur i de } \mu_i \lambda_i^2$

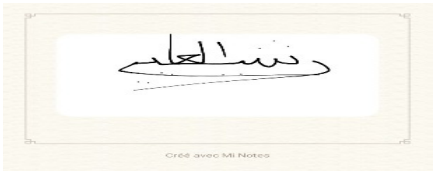

où μ_i sont des poids liés aux
énergies spectrales des éléments fondamentaux.

4.3 Condensation en signature

Une signature S(X) apparaît lorsqu'un signal atteint $\lambda = 0$ et se localise en un point a de l'espace de Rachid ELAÏDI correspondant à un élément du TP_RE.

---

5. Équation maîtresse fondamentale

5.1 Principe de moindre action spectrale

Nous postulons que l'évolution de la fonction d'onde spectrale Ψ(a, λ, τ) est gouvernée par un principe variationnel. L'action S s'écrit :

S[Ψ] = ∫ dτ ∑_{a∈ℤ²⁴} ∫ 𝒟λ ℒ(Ψ, ∂_τΨ, ∇_aΨ, δΨ/δλ, a, λ, τ)

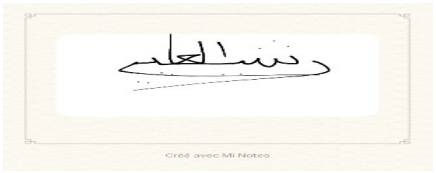

où $\mathcal{D}\lambda$ est une mesure fonctionnelle sur l'espace des λ, et $\mathcal{L}$ est une densité lagrangienne.

5.2 Forme générale du lagrangien

$\mathcal{L}$ = (i/2)(Ψ* ∂_τΨ - Ψ ∂_τΨ*) - $\mathcal{H}$(Ψ, ∇_aΨ, δΨ/δλ, a, λ)

avec $\mathcal{H}$ = $\mathcal{H}$_a + $\mathcal{H}$_λ + $\mathcal{H}$_pot + $\mathcal{H}$_int + $\mathcal{H}$_brouillard

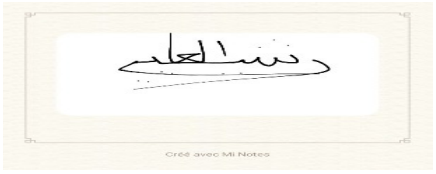

5.3 Termes explicites

5.3.1 Terme cinétique dans a (propagation supraluminique)

$\mathcal{H}$_a = D_a(a,λ) somme_i |∇_a^i Ψ|²

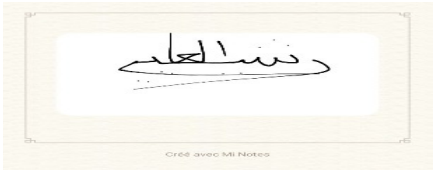

où ∇_a^i est la dérivée discrète dans la direction i, et $D_a(a,\lambda) = n(a)^2 / (2\,\mu)$ avec μ une masse effective (tendant vers 0 pour les sans masse).

5.3.2 Terme cinétique dans λ (évolution de l'invisibilité)

$$\mathcal{H}_{\lambda} = \sum_{i=1}^{\infty} |\partial\Psi/\partial\lambda_i|^2$$

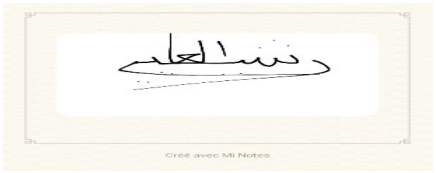

en discrétisant l'espace des λ
en une infinité dénombrable de composantes.

5.3.3 Potentiel de l'arbre

$$\mathcal{H}_{pot} = - \sum_X E_X(\lambda)\, |\Psi(a_X, \lambda)|^2$$

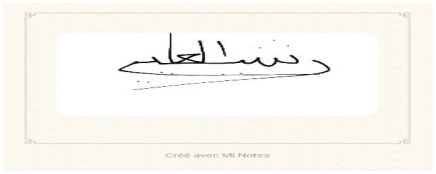

avec $E_X(\lambda) = E_X \exp(- \sum_i \eta_i \lambda_i)$, où E_X est l'énergie de base de l'élément X.

5.3.4 Terme d'interaction (fusions, dislocations)

$$\mathcal{H}_{int} = (1/2) \int d\lambda'\, d\lambda''\, d\lambda'''\, U(a, \lambda', \lambda'', \lambda''')\, \Psi^*(a, \lambda''')\, \Psi(a, \lambda')\, \Psi(a, \lambda'')$$

avec un noyau U symétrique.
Une forme simple est :

$$U = U_0\, \delta(\lambda''' - f(\lambda', \lambda''))\, \delta(a - g(a', a''))$$

où f est une fonction de combinaison des λ (par exemple la moyenne) et g est la somme des vecteurs a.

5.3.5 Brouillard (filtrage)

$$\mathcal{H}_\text{brouillard} = i\,\gamma(a,\lambda)\,|\Psi|^2$$

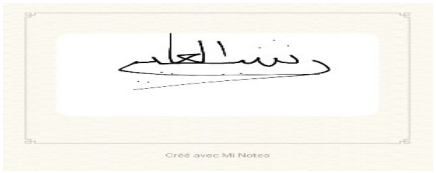

avec γ positif, représentant l'absorption par les écrans.

5.4 Équation du mouvement

L'équation d'Euler-Lagrange donne :

$$i\,\partial_\tau\,\Psi(a,\lambda) = [\, -\nabla_a \cdot (D_a(a,\lambda)\,\nabla_a) - \text{somme_i}\,\partial^2/\partial\lambda_i^2\,]\,\Psi(a,\lambda)$$

•somme_X E_X(λ) δ_{a,a_X} Ψ(a_X,λ)
•∫ dλ' dλ'' U(a,λ,λ',λ'') Ψ(a,λ') Ψ(a,λ'') Ψ*(a,λ)
•i γ(a,λ) $|\Psi|^2$ Ψ(a,λ)

où δ_{a,a_X} sont des symboles de Kronecker.

---

6. Ombres spectrales et brouillard

6.1 Définition des ombres spectrales

Une ombre spectrale est un signal qui, bien qu'ayant atteint un degré d'invisibilité très faible (λ proche de zéro), ne parvient pas à se condenser en une signature stable. Il reste dans un état de quasi-émergence, oscillant entre le visible et l'invisible.

Propriétés :

•Le vecteur a est proche de celui d'un élément connu.
•La phase n est bien définie et peut coïncider avec celle d'un élément.
•L'intensité I est souvent plus élevée ou plus faible que celle de l'élément correspondant.
•L'énergie spectrale fluctue (énergies sporadiques).

6.2 Origine des ombres

•Bifurcations incomplètes
•Fusions résonantes avortées
•Interactions avec le brouillard

6.3 Le brouillard (écran de brouillard)

Le brouillard englobe tous les mécanismes empêchant ou retardant l'émergence des signatures. Il est modélisé par :

•Un opérateur de filtrage F_brouillard
•Une fonction de transmission T(λ, a)
•Des seuils effectifs

Origines possibles :

- **Interactions avec d'autres signaux**
- **Effets de phase**
- **Dispersion**
- **Obstacles structuraux**

---

7. Classification des métamorphoses spectrales

Le tableau suivant présente une classification exhaustive des métamorphoses, des plus simples aux plus complexes, incluant des phénomènes supputés pour des découvertes futures.

Type de métamorphose	Description	Conditions	Manifestation	Lien avec ombres/brouillard	Exemple
Fusion résonante	Combinaison de signaux	Noyau U non nul, résonance de phases	État composite	Peut générer des ombres	$H_3 + He + O \rightarrow (H_3HeO)$
Dislocation spontanée	Fragmentation d'un signal	Instabilité énergétique	Signaux multiples	Augmente le brouillard	$C_2H_6 \rightarrow 2\ CH_4$
Bifurcation progressive	Plusieurs chemins simultanés	Diffusion dans l'espace des a	Superposition d'états	Branches non abouties → ombres	$Ne \rightarrow H_2O$ (chemins multiples)
Condensation différée	Blocage près de $\lambda=0$	Puits peu profond, γ non nul	Signature intermittente	Définition d'une ombre	Oscillation autour de H_2O
Traversée d'écran	Passage à travers le brouillard	Opérateur $T(\lambda,a)$	Signal avec λ modifié	Le brouillard est traversé	Signal devient ombre
Métamorphose	Retour au point	Structure	Apparition	Ombres	$Ne \rightarrow H_2O \rightarrow Ne$

Type de métamorphose	Description	Conditions	Manifestation	Lien avec ombres/brouillard	Exemple
cyclique	de départ	cyclique de l'arbre	périodique	intermédiaires	
Fusion en chaîne	Fusions successives	Interactions multiples	Signature complexe	Ombres à chaque étape	$H+H \rightarrow H_2 \rightarrow H_2O \rightarrow H_3O^+$
Dispersion résonante	Dispersion en λ	Diffusion forte	Nuage d'ombres	Brouillard créé	Signal de phase 10 se disperse
Annihilation	Phases opposées	Interaction destructive	Disparition, énergie	Trous dans le brouillard	H + anti-H
Écho	Réflexion sur le brouillard	Conditions aux limites	Signal miroir	Brouillard miroir	Réflexion sur écran
Effet tunnel	Traversée de barrière	Potentiel, couplage faible	Apparition soudaine	Brouillard franchi	Signal apparaît sans chemin
Résonance paramétrique	Amplification par modulation	$h(\tau)$ périodique	Signature amplifiée	Brouillard oscillant	Ombre devient signature
Catastrophe	Bifurcation brutale	Non-linéarité, points critiques	Changement radical	Brouillard paramètre	Ombre → signature ou dislocation
Intrication	Corrélations non locales	Interaction non locale	Signatures corrélées	Brouillard traversé	Paires de phases complémentaires
Auto-organisation	Structure collective	Termes collectifs	Cristal spectral	Brouillard milieu	Réseau de signatures
Décohérence	Réduction d'une superposition	Brouillard fort	Signature unique	Brouillard environnement	Superposition $H_2O/CH_4 \rightarrow H_2O$
Fluctuation quantique	Création spontanée de paires	Bruit, énergie sporadique	Paires de signatures	Brouillard amplifie/atténue	H + anti-H du vide
Résonance de Landau	Accélération par gradient de	Variation spatiale de n	Changement de vitesse	Brouillard crée des gradients	Signal accéléré

Type de métamorphose	Description	Conditions	Manifestation	Lien avec ombres/brouillard	Exemple
	phase				
Effet Cherenkov spectral	Émission de sillage	v > n_locale	Signaux secondaires	Brouillard milieu	Signal de phase 20 émet des signaux de phase 10
Soliton	Propagation sans déformation	Équation non linéaire	Signature stable	Brouillard transparent	Paquet d'onde non dispersif
Chaos déterministe	Évolution imprévisible	Non-linéarité, sensibilité	Comportement erratique	Brouillard source de chaos	Probabilités fluctuantes
Brisure de symétrie	Stabilisation dans un puits	Potentiel double puits	Signature unique	Brouillard brise la symétrie	État symétrique se concentre

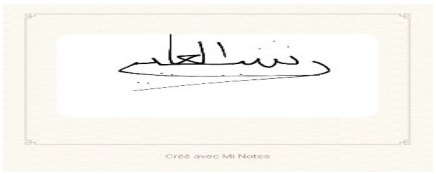

8. Exemple détaillé : fusion résonante H_3 + He + O

8.1 Description des signaux initiaux

Signal A (H_3) : a_A = (3,0,0,0,0,0,0,0,0,...), n_A = 3, I_A = 9, E_A = (3/48)*9 = 27/48 = 0,5625
Signal B (He) : a_B = (0,1,0,0,0,0,0,0,0,...), n_B = 2, I_B = 1, E_B = 2/48 = 0,0417
Signal C (O) : a_C = (0,0,0,0,0,0,0,1,0,0,...), n_C = 8, I_C = 1, E_C = 8/48 = 0,1667

8.2 Condition de résonance

Les phases individuelles sont 3, 2 et 8. Leur somme est 13, qui est la phase de l'aluminium (Al) dans le TP_RE. Cette coïncidence favorise la fusion.

8.3 Produit de la fusion

a_D = a_A + a_B + a_C = (3,1,0,0,0,0,1,0,0,...)
n_D = 3×1 + 1×2 + 1×8 = 13
I_D = 3^2 + 1^2 + 1^2 = 9 + 1 + 1 = 11
E_D = (13/48) × 11 = 143/48 ≈ 2,9792

Le degré d'invisibilité du signal fusionné est une combinaison des λ initiaux, par exemple la moyenne pondérée par les intensités :
λ_D = (I_A λ_A + I_B λ_B + I_C λ_C) / (I_A + I_B + I_C) = (9 λ_A + λ_B + λ_C) / 11

8.4 Devenir possible

•Condensation directe si λ_D → 0 : nouvel élément (H_3HeO) à ajouter au TP_RE
•Dislocation en produits plus stables
•Interaction avec d'autres signaux

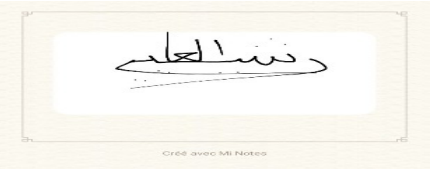

---

9. Implications pour le monde visible et le TP_RE

Le tableau comparatif de la section 3 montre clairement la correspondance entre le monde visible (tableau classique) et le monde invisible (TP_RE) :

•Les 24 premiers éléments fondamentaux du TP_RE correspondent exactement aux 24 premiers éléments du tableau classique (H à Cr), avec des masses spectrales très proches des masses atomiques.
•Les molécules du monde visible (H_2O, CH_4, etc.) ont des phases qui coïncident avec celles de certains éléments du TP_RE (Ne, Si, Ti, etc.), établissant une résonance spectrale.
•Les éléments lourds (Cf, Es, etc.) ont des phases qui coïncident avec celles d'éléments plus légers (Ca, Sc, etc.), montrant une parenté spectrale.
•De nouveaux états spectraux (comme H_3HeO) sont prédits par le modèle ; ils n'ont pas encore d'équivalent dans le monde visible mais pourraient être découverts dans des conditions extrêmes ou comme intermédiaires réactionnels.

Ainsi, le TP_RE apparaît comme une extension naturelle du tableau périodique classique, plongeant ses racines dans un monde invisible infiniment plus riche. Le monde visible n'en est que la partie émergée, l'iceberg dont la masse cachée est constituée de tous les états spectraux non encore condensés.

---

10. Validation numérique et perspectives expérimentales

10.1 Simulation avec Python

Un plan de simulation en plusieurs étapes est proposé :

1.Modèle réduit avec une base de 3 à 5 éléments fondamentaux et des coefficients bornés
2.Implémentation de l'équation maîtresse (matrice des taux, résolution par méthodes déterministes ou stochastiques)
3.Analyse des distributions de probabilité et des trajectoires
4.Extension aux interactions non linéaires

10.2 Intérêt pour les laboratoires

•Chimie théorique : comparaison avec calculs ab initio
•Spectroscopie : recherche de signatures inédites correspondant aux états prédits
•Physique des particules : analogues de phénomènes supraluminiques
•Mathématiques appliquées : étude de l'équation maîtresse

---

11. Conclusion

Ce chapitre a présenté une synthèse unifiée du paradigme Rachid ELAÏDI, intégrant :

•La structure de l'arbre modulo nπ et l'espace de Rachid ELAÏDI
•Les grandeurs fondamentales (intensité, énergie, vitesse supraluminique, temps spectral)
•Un tableau comparatif systématique entre le tableau périodique classique et le TP_RE
•La distinction entre signaux (avec degrés d'invisibilité) et signatures
•Une équation maîtresse fondamentale issue d'un principe variationnel
•Les concepts d'ombres spectrales et de brouillard
•Une classification exhaustive des métamorphoses
•Un exemple concret de fusion résonante menant à un nouvel état

Ce cadre théorique permet désormais de comprendre comment les signaux les plus profonds peuvent, après des cheminements complexes impliquant bifurcations, fusions, dislocations et traversées d'écrans, émerger comme signatures observables. Le monde visible n'apparaît que comme la partie émergée d'un iceberg spectral infiniment plus vaste, où chaque molécule porte en elle la mémoire de son itinéraire à travers l'arbre de Rachid ELAÏDI, et où chaque élément du tableau classique trouve son double spectral dans le TP_RE.

Des travaux futurs devront explorer numériquement les solutions de l'équation maîtresse, établir des correspondances avec les données spectroscopiques, et approfondir l'étude des métamorphoses non encore répertoriées qui pourraient révéler de nouvelles espèces chimiques et de nouveaux états de la matière, enrichissant ainsi à la fois le tableau périodique classique et le TP_RE.

Références

1.ELAÏDI, R. (2026). Tableau périodique des signatures spectrales RE (TP_RE). Publications de l'Académie Rachid ELAÏDI.
2.ELAÏDI, R. (2026). Variance spectrale des éléments chimiques. Annales de la Fondation ELAÏDI, 1(1), 1-15.
3.ELAÏDI, R. (2026). Itinéraires des molécules du monde invisible au monde visible. Annales de la Fondation ELAÏDI, 1(2), 17-44.
4.ELAÏDI, R. (2026). L'arbre de Rachid ELAÏDI modulo nπ : une structure cyclique pour la chimie spectrale. Journal de Physique Théorique Spectrale, 2(1), 1-22.

5.ELAÏDI, R. (2026). Équation maîtresse et dynamique probabiliste des transitions spectrales. Annales de la Fondation ELAÏDI, 2(2), 45-78.
6.ELAÏDI, R. (2026). Des signaux aux signatures : ombres, brouillard et métamorphoses. Annales de la Fondation ELAÏDI, 3(1), 1-45.